

подтверждается результатами модельных расчетов [2] и объясняется сужением полезного для связи объема метеорной зоны ионосферы.

## ЛИТЕРАТУРА

1. Карпов А. В., Кодиров А. и др. // Изв. вузов. Радиофизика. 1987. Т. 30 № 3. С. 343.
- 2 Карпов А. В., Сидоров В. В. // Метеорное распространение радиоволн. — Казань: Гос. ун-т, 1981. Вып. 17. С. 14.

Казанский государственный  
университет

Поступила в редакцию  
22 марта 1988 г.

УДК 534.222.1

## ОБ ОСОБЕННОСТЯХ РЕАКЦИИ ИЗЛУЧЕНИЯ ЗВУКА ПРИ РАВНОМЕРНОМ ДВИЖЕНИИ РАСПРЕДЕЛЕННЫХ ИСТОЧНИКОВ В ТУРБУЛЕНТНОЙ СРЕДЕ

A. B. Разин, B. B. Тамойкин

В работе [1] рассмотрено излучение звука точечными источниками тепла и импульса, равномерно движущимися в случайно-неоднородной газообразной среде, характеризуемой экспоненциальной функцией корреляции флуктуаций. Представляет интерес обобщение результатов [1] на случай источника, имеющего конечные размеры, и более реалистичной модели среды, спектр случайных неоднородностей которой задается кармановской функцией (турбулентная атмосфера).

В настоящей работе методом среднего поля рассмотрена реакция акустического излучения при равномерном движении в турбулентной атмосфере теплового и силового источников, имеющих конечные размеры. Приведены интегральные выражения для спектральной плотности силы реакции излучения. Для модели турбулентности, описываемой кармановской функцией корреляции флуктуаций плотности среды, проведено численное исследование характеристик переходного излучения в зависимости от продольного и поперечного размеров источников, а также скорости их движения.

Силовой (или импульсный) и тепловой источники будем описывать соответственно функциями

$$f(r, t) = \frac{f_0 e_z}{\pi^{3/2} a^2 b} \exp \left[ -\frac{x^2 + y^2}{a^2} - \frac{(z - v_0 t)^2}{b^2} \right],$$
$$h(r, t) = \frac{h_0}{\pi^{3/2} a^2 b} \exp \left[ -\frac{x^2 + y^2}{a^2} - \frac{(z - v_0 t)^2}{b^2} \right],$$

где  $f_0$  и  $h_0$  определяют мощности источников,  $v_0$  — скорость их движения в положительном направлении оси Oz декартовой системы координат ( $e_z$  — орт этой оси), величины  $a$  и  $b$  характеризуют размеры источников,  $r$  — радиус-вектор,  $t$  — время.

Методика расчета реакций излучения при движении малых тел в случайных средах изложена в работах [1, 2]. Результаты для источников конечных размеров могут быть получены аналогично. Так, спектральная плотность силы реакции излучения теплового источника  $F_h$ , а также продольная  $F_l$  и поперечная  $F_{lr}$  (по терминологии [1])<sup>\*</sup> компоненты силы реакции излучения источника импульса описываются выражениями

$$\tilde{F}_h(\omega) = \frac{h_0}{\rho_0 c_0^5 L_0} \tilde{F}_h, \quad F_{l, lr}(\omega) = \frac{f_0^2}{\rho_0 c_0^3 L_0} \tilde{F}_{l, lr},$$

где  $\rho_0$  и  $c_0$  — соответственно средние плотность среды и скорость звука в атмосфере,  $L_0$  — внешний масштаб турбулентности,

$$\tilde{F}_h(q) = \frac{(\gamma - 1)^2}{\pi M^2} q \exp \left\{ \frac{2\pi^2}{M^2} q^2 \left[ \left( \frac{a}{L_0} \right)^2 - \left( \frac{b}{L_0} \right)^2 \right] \right\} \int_{q/M}^{\infty} \frac{\epsilon''_l(\tau) \tau^3 \exp[-2\pi^2(a/L_0)^2 \tau]}{(\tau^2 - q^2)^2 + q^4 \epsilon''_l(\tau)} d\tau, \quad (1)$$

\* В [1] величины  $F_l$  и  $F_{lr}$  определяются соответственно продольной и поперечной эффективными проницаемостями, которые являются коэффициентами в разложении тензора эффективной проницаемости на бессвязевую и соленоидальную части.

$$\tilde{F}_l(q) = \frac{q^5}{\pi M^4} \exp\left(\frac{2\pi^2}{M^2} q^2 \left[ \left(\frac{a}{L_0}\right)^2 - \left(\frac{b}{L_0}\right)^2 \right]\right) \int_{q/M}^{\infty} \frac{\varepsilon_l''(\tau) \exp[-2\pi^2(a/L_0)^2\tau]}{\tau^4 (\tau^2 - q^2)^2 + q^4 \varepsilon_l''(\tau)} d\tau; \quad (2)$$

$$\tilde{F}_{tr}(q) = \frac{1}{\pi M^2 q} \exp\left(\frac{2\pi^2}{M^2} q^2 \left[ \left(\frac{a}{L_0}\right)^2 - \left(\frac{b}{L_0}\right)^2 \right]\right) \int_{q/M}^{\infty} \tau^{-1} (\tau^2 - q^2/M^2) \varepsilon_{tr}''(\tau) \exp[-2\pi^2(a/L_0)^2\tau] d\tau \quad (3)$$

— безразмерные численные коэффициенты. В (1)–(3)  $q=L_0/\lambda$ , где  $\lambda$  — длина волны излучаемого звука,  $M=v_0/c_0$  — число Маха. В случае кармановской функции корреляции флюктуаций плотности среды мнимые части  $\varepsilon_l$ ,  $\varepsilon_{tr}$  продольной и поперечной проницаемостей [1] имеют вид [3]

$$\varepsilon_l''(\tau) \simeq 0,1913 \langle e^2 \rangle \tilde{\varepsilon}_l''(\tau), \quad \varepsilon_{tr}''(\tau) \simeq 0,09565 \langle e^2 \rangle \tilde{\varepsilon}_{tr}''(\tau),$$

$$\tilde{\varepsilon}_l''(\tau) = \frac{3}{2\tau^3} \left[ \frac{(\tau^2 + q^2 + 1)^2}{15} (\alpha^{-5/6} - \beta^{-5/6}) + (\tau^2 + q^2 + 1) (\alpha^{1/6} - \beta^{1/6}) - \frac{1}{14} (\alpha^{7/6} - \beta^{7/6}) \right],$$

$$\tilde{\varepsilon}_{tr}''(\tau) = \frac{3}{5\tau} (\alpha^{-5/6} - \beta^{-5/6}) - \tilde{\varepsilon}_l''(\tau)/q^2,$$

$$\alpha = (\tau - q)^2 + 1, \quad \beta = (\tau + q)^2 + 1.$$

Расчеты величин  $\tilde{F}_h(q)$  и  $\tilde{F}_l(q)$  показали, что зависимости спектральных плотностей силы реакции излучения от параметра  $q$  имеют максимум, положение и величина которого определяются скоростью и размерами источника. При этом оказалось, что наиболее существенным параметром источника является его продольный размер ( $b$ ), изменение которого в два раза приводит к изменению максимальных значений  $\tilde{F}_h$ ,  $\tilde{F}_l$  в 2,5–3 раза и соответствующей им частоты приблизительно в полтора раза. Изменение вдвое поперечного размера источника приводит к незначительным (не более 10%) вариациям положений и величин максимумов функций  $\tilde{F}_h(q)$  и  $\tilde{F}_l(q)$ . С ростом скорости движения источника эти вариации становятся все менее существенными.

Увеличение скорости источника приводит к смещению максимума в спектре излучения в область более высоких частот. Увеличение же размеров источника приводит к сужению полосы излучаемых частот и их сдвигу в более низкочастотную область.

При сверхзвуковом движении источников переходной механизм вносит ничтожный вклад в  $F_h$  и  $F_l$  по сравнению с черенковским во всем диапазоне частот.

В отличие от зависимостей  $\tilde{F}_h(q)$ ,  $\tilde{F}_l(q)$  максимальное значение  $\tilde{F}_{tr}$  при фиксированных размерах источника убывает с ростом скорости движения. Влияние на спектр излучения поперечного размера источника при заданном числе Маха оказывается более существенным, хотя положение максимума в спектре, его величина и ширина по-прежнему определяются, главным образом, продольным размером. Увеличение скорости источника до сверхзвуковой не приводит к резким количественным изменениям зависимости  $\tilde{F}_{tr}(q)$ .

Подробный анализ зависимостей спектральной плотности силы реакции излучения от продольного и поперечного размеров источника и скорости его движения содержится в работе [3].

Для получения силы реакции излучения  $I_h$ ,  $I_l$ ,  $I_{tr}$  необходимо проинтегрировать выражения для спектральных плотностей  $F_h$ ,  $I_l$ ,  $I_{tr}(\omega)$  по частоте. Расчеты

безразмерных величин  $\tilde{I}_h = \rho_0 c_0^4 L_0^2 I_h/h_0^2$ ,  $\tilde{I}_l$ ,  $\tilde{I}_{tr} = \rho_0 c_0^2 L_0^2 I_l$ ,  $I_{tr}/f_0^2$  показали (рис. 1),

что при скоростях движения источника  $v_0 \leq 250$  м/с поперечная составляющая силы реакции излучения значительно превышает продольную, причем их разница тем существеннее,

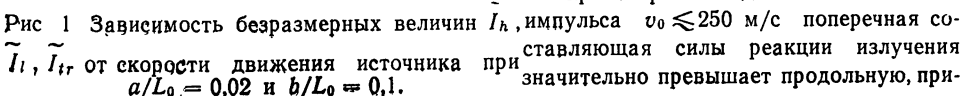


Рис. 1 Зависимость безразмерных величин  $\tilde{I}_h$ ,  $\tilde{I}_l$ ,  $\tilde{I}_{tr}$  от скорости движения источника при  $a/L_0 = 0,02$  и  $b/L_0 = 0,1$ .

чем меньше скорость источника. При скорости  $v_0 \approx 300$  м/с продольная

и поперечная составляющие силы реакции излучения имеют одинаковый порядок величины. На околосзвуковых скоростях,  $v_0 \geq c_0$ , продольная компонента силы реакции излучения источника импульса скачкообразно возрастает на несколько порядков, что связано с излучением волн Маха при  $M > 1$ . Аналогично ведет себя сила реакции излучения теплового источника.

Поперечная компонента силы реакции излучения источника импульса во всем интервале скоростей движения меняется плавно и возрастает приблизительно на порядок при увеличении  $v_0$  от 50 м/с до 1000 м/с.

## ЛИТЕРАТУРА

- Липовский В. Д., Тамойкин В. В. // Изв. вузов. Радиофизика. 1983. Т. 26. № 2. С. 183.
- Тамойкин В. В., Бирагов С. Б. // ЖЭТФ. 1963. Т. 44. Вып. 5. С. 1546.
- Разин А. В., Тамойкин В. В. Препринт НИРФИ № 247. Горький, 1987.

Научно-исследовательский  
радиофизический институт

Поступила в редакцию  
7 апреля 1988 г.

УДК 621.371.334:537.874.6.72

## АНОМАЛИИ ВУДА ПРИ СКОЛЬЗЯЩЕМ ПАДЕНИИ ИЗЛУЧЕНИЯ НА МЕЛКУЮ МЕТАЛЛИЧЕСКУЮ РЕШЕТКУ С КОНЕЧНОЙ ПРОВОДИМОСТЬЮ

А. А. Ковалев, П. С. Кондратенко, Б. Н. Левинский

Как известно [1, 2], при дифракции излучения на мелких металлических решетках в областях аномалий Вуда могут происходить сильные изменения спектра дифрагированных волн. В работах [3, 4] предложен подход, позволяющий аналитически описывать эти изменения и для случая не слишком больших углов падения  $\theta$  получены выражения для амплитуд полей в разных порядках дифракции.

В настоящей работе аналогичным методом рассмотрен случай скользящего падения излучения. Исследование этой ситуации представляет значительный интерес, поскольку проявление таких сильных эффектов, как подавление зеркального отражения, оказывается возможным и при амплитудах профиля  $b$ , в сотни и даже тысячи раз меньших длины волны падающего излучения  $\lambda$ .

Рассмотрим металлическую поверхность с профилем, заданным функцией  $z_* = b \sin(\varphi r)$ ,  $\varphi$  — вектор обратной решетки,  $r$  — радиус-вектор. На эту профилированную поверхность падает плоская монохроматическая волна с электрическим вектором

$$E^{(0)} = \sum_{\sigma=s,p} E^\sigma e^\sigma e^{ikr}, \quad (1)$$

где

$$e^p = \frac{[k[nk]]}{[[k[nk]]]}, \quad e^s = \frac{[nk]}{[[nk]]},$$

$E^p$  и  $E^s$  — проекции амплитуды волны на направления поляризации в плоскости падения и перпендикулярно к ней, волновой вектор падающей волны  $k = q + nk \cos \theta$ ,  $n$  — нормаль к невозмущенной (плоской) поверхности, направленная в металл,  $(qn) = 0$ ,  $q = |q| = k \sin \theta$ ,  $\theta$  — угол падения,  $k = \omega/c$ ,  $\omega$  — частота излучения,  $c$  — скорость света.

Для нахождения поля рассеянной волны  $E^{(1)}$ , как и в работе [3], воспользуемся граничным условием Леонтьевича. В дальнейшем мы будем рассматривать ситуацию, когда выполняются неравенства

$$(bg)^2 \ll 1, \quad (bk)^2 \ll 1 \text{ и } |\zeta| \ll 1. \quad (2)$$

Здесь поверхностный импеданс  $\zeta = \zeta_1 - i\zeta_2$ , где величины  $\zeta_1$  и  $\zeta_2$  положительны. При выполнении неравенств (2) для нашего случая условие Леонтьевича можно представить в виде

$$\left\{ E_t + bg(nE)\cos(\varphi r) - i\frac{\zeta}{k} [n \operatorname{rot} E] \right\}_{z=z_*} = 0, \quad (3)$$

где  $E = E^{(0)} + E^{(1)}$ ,  $E_t$  — проекция вектора  $E$  на невозмущенную поверхность.